

変位制御用ダンパーを有する高架橋の地震応答解析

一動的サブ・ストラクチャ法の適用

岡山大学工学部 正員 竹宮宏和
オリエンタルコンサルタント 正員〇西 陽穂

1. 対象構造 本研究は、変位制御装置を有する多径間連続高架橋の橋軸方向の地震時応答性状を、橋台と橋脚において把握することを目的とした。解析対象部は、フレキシブルな高架部とマッピングを橋台と非線形特性を持つオイルダンパーで連結した連成系である。今回の報告は、このような局所的な非線形系に対する動的サブ・ストラクチャ法の適用を試みたものである。

2. 定式化 多径間連続高架部と橋台の連成系の運動方程式を作成するに当り、まず、それらを図1のようにして瞬時に切断してそれぞれサブシステムを表す。

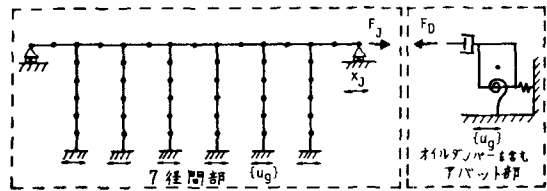


図1 解析対象系

多径間高架部：通常の有限要素法より、解析対象構造物を多質点系モデルとし、並進運動が回転より卓越すると、静的結合後 $[M]\{x\} + [C]\dot{\{x\}} + [K]\{x\} = \{F\}$ (1)

を得る。ここに $[M]$, $[C]$, $[K]$ は質量、減衰、剛性マトリックスを表す。いま、変位ベクトル $\{x\}$ を、地盤との境界点について $\{x_j^d\}$ 、切削面上の $\{x_i\}$ および内部質点の $\{x_g\}$ に区別する。

従って式(1)は

$$\begin{bmatrix} [M_{jj}] & [M_{ji}] & [M_{ig}] \\ [M_{ij}] & [M_{ii}] & [M_{ig}] \\ [M_{gj}] & [M_{gi}] & [M_{gg}] \end{bmatrix} \begin{bmatrix} \{x_j\} \\ \{x_i\} \\ \{x_g\} \end{bmatrix} + \begin{bmatrix} [C_{jj}] & [C_{ji}] & [C_{ig}] \\ [C_{ij}] & [C_{ii}] & [C_{ig}] \\ [C_{gj}] & [C_{gi}] & [C_{gg}] \end{bmatrix} \begin{bmatrix} \{\dot{x}_j\} \\ \{\dot{x}_i\} \\ \{\dot{x}_g\} \end{bmatrix} + \begin{bmatrix} [K_{jj}] & [K_{ji}] & [K_{ig}] \\ [K_{ij}] & [K_{ii}] & [K_{ig}] \\ [K_{gj}] & [K_{gi}] & [K_{gg}] \end{bmatrix} \begin{bmatrix} \{x_j\} \\ \{x_i\} \\ \{x_g\} \end{bmatrix} = \begin{bmatrix} \{F_j\} \\ \{0\} \\ \{F_g\} \end{bmatrix} \quad (2)$$

ここで、さらに内部質点変位を、全境界点を拘束した状態下的慣性力による動的変位 $\{x_i^d\}$ と、これらを拘束点の変位による準静的変位 $\{x_i^S\}$ の和と考える。

$$\{x_i\} = \{x_i^d\} + \{x_i^S\} \quad (3)$$

そして後者は式(2)の静的結合式の結合から $\{x_i^S\} = [\beta]\{x_j\} + [\gamma]\{x_g\}$ (4)

ただし $[\beta], [\gamma]$ は変位影響マトリックスで $[\beta] = -[K_{ii}]^{-1}[K_{ij}]$ $[\gamma] = -[K_{ii}]^{-1}[K_{ig}]$ と求まる。

式(2)新たに変位ベクトル $\{x\}^T = \{(x_j)^T (x_i^d)^T (x_g)^T\}^T$ を用い、しかも係数マトリックスが対称性を有するように書き表せば

$$\begin{bmatrix} [M_{jj}] + [\beta]^T [M_{ii}] [\beta] & [\beta]^T [M_{ii}] \\ [M_{ii}] [\beta] & [M_{ii}] \end{bmatrix} \begin{bmatrix} \{x_j\} \\ \{x_i^d\} \end{bmatrix} + \begin{bmatrix} [\alpha]^T [C_{ii}] & [\beta]^T [C_{ii}] \\ [C_{ii}] [\beta] & [C_{ii}] \end{bmatrix} \begin{bmatrix} \{\dot{x}_j\} \\ \{\dot{x}_i^d\} \end{bmatrix}$$

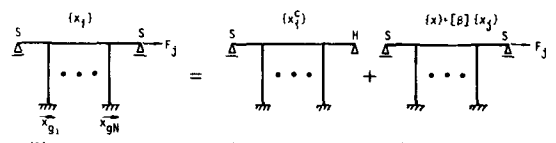


図2 オイルダンパー特性

$$+ \begin{bmatrix} [K_{jj}] + [K_{ji}] [\beta] & [0] \\ [0] & [K_{ii}] \end{bmatrix} \begin{bmatrix} \{x_j\} \\ \{x_i^d\} \end{bmatrix} = \begin{bmatrix} \{F_j\} \\ \{0\} \end{bmatrix} - \begin{bmatrix} [\beta]^T [M_{ii}] [\gamma] \\ [M_{ii}] [\gamma] \end{bmatrix} \begin{bmatrix} \{x_g\} \\ \{0\} \end{bmatrix} - \begin{bmatrix} [\beta]^T [C_{ig}] + [\beta]^T [C_{ii}] [\gamma] \\ [C_{ig}] + [C_{ii}] [\gamma] \end{bmatrix} \begin{bmatrix} \{\dot{x}_g\} \\ \{0\} \end{bmatrix} \quad (5)$$

$$(1) \text{ Sub system I} \quad (2) \text{ Due to inertia} \quad (3) \text{ Due to } F_j$$

$$+ \begin{bmatrix} (x) = [\gamma](x_g) & H \\ x_g_1 & \dots & x_g_N \end{bmatrix} = \begin{bmatrix} H & S \\ \dots & \dots \end{bmatrix} + \begin{bmatrix} (x) & H \\ x_g_1 & \dots & x_g_N \end{bmatrix} \quad (4) \text{ Due to base movement}$$

図3 応答の線形重ね合せ

橋台部：橋台を地盤と運動的相互作用から剛体の自由度系とモデル化し、運動方程式を絶対座標系で表わすと

$$[M_A]\{\ddot{x}_A\} + [C_A]\{\dot{x}_A\} + [K_A]\{x_A\} = -\{F_D\} + [C_A]x_{gA} + [K_A]x_{gA} \quad (6)$$

ここで $[M_A]$, $[C_A]$, $[K_A]$ は質量、減衰、剛性マトリックスで、地盤バネ定数は現地盤定数より橋台底面計算値と減衰効果は並進・回転ともに減衰定数が形で仮定する。

全体系：多径間高架部(式(5))と橋台部(式(6))を図2に示したオイルダンパーで連結する。その場合前者の拘束系に固有振動モード分解が適用できるとする。つまり、全体系の運動は自由度を低減するため、多径間高架部の代表的な固有モードと拘束の連成系を作成する。その結果、次式を得る。

$$\begin{aligned} & \left[\begin{array}{cc} [I] & \\ [M_{jj}] + [\beta]^T [M_{ii}] [\beta] & [\beta]^T [M_{ij}] [\phi] \\ [\phi]^T [M_{ii}] [\beta] & [I] \end{array} \right] \begin{Bmatrix} \dot{\{x}_A\} \\ \{x}_j \\ \{q\} \end{Bmatrix} + \left[\begin{array}{c} [M_A]^{-\frac{1}{2}} [C_A] [M_A]^{-\frac{1}{2}} \\ [\beta]^T [C_{ii}] [\beta] \\ [\phi]^T [C_{ii}] [\phi] \\ [\phi]^T [C_{ij}] [\beta] \\ [-2\varepsilon_\ell \omega_\ell] \end{array} \right] \begin{Bmatrix} \dot{\{x}_A\} \\ \{x}_j \\ \{q\} \end{Bmatrix} \\ & + \left[\begin{array}{cc} [M_A]^{-\frac{1}{2}} [K_A] [M_A]^{-\frac{1}{2}} \\ [K_{jj}] + [K_{ji}] [\beta] \\ [0] \\ [0] \\ [\omega_\ell^2] \end{array} \right] \begin{Bmatrix} \{x}_A \\ \{x}_j \\ \{q\} \end{Bmatrix} = \left\{ \begin{array}{c} -[M_A]^{-\frac{1}{2}} [F_D] \\ \{F_D\} \\ \{0\} \\ \{-[\beta]^T [M_{ii}] [\gamma] \dot{\{x}_g\}} \\ \{-[\phi]^T [M_{ii}] [\gamma] \dot{\{x}_g\}} \end{array} \right\} + \left\{ \begin{array}{c} [M_A]^{-\frac{1}{2}} [C_A] \{\dot{x}_A\} \\ -[\beta]^T [C_{ii}] [\gamma] \dot{\{x}_g\} \\ \{-[\beta]^T [C_{ij}] [\gamma] \dot{\{x}_g\}} \\ \{-[\phi]^T [C_{ii}] [\gamma] \dot{\{x}_g\}} \end{array} \right\} \end{aligned} \quad (7)$$

3. 解析結果 解析例は本次連絡橋の島高架橋(7径間連続、分散固定支承形式)であります。
図4に拘束系の固有振動モードを、図5に変位影響マトリックスを示す。

図6, 7は HACHINOHE 1968, NS 入力に対する最大応答値で、拘束系の固有モード

の使用次数をパラメータにしていく。これらの結果より、対象系の応答性状は、高架部の基本振動モードが卓越しており、一方位制御ダンパー10本を設置すると変位応答が10箇所で低減されることが判明した。橋台部は質量や高架部に比べて非常に大きく、高架部からの影響は受けない。

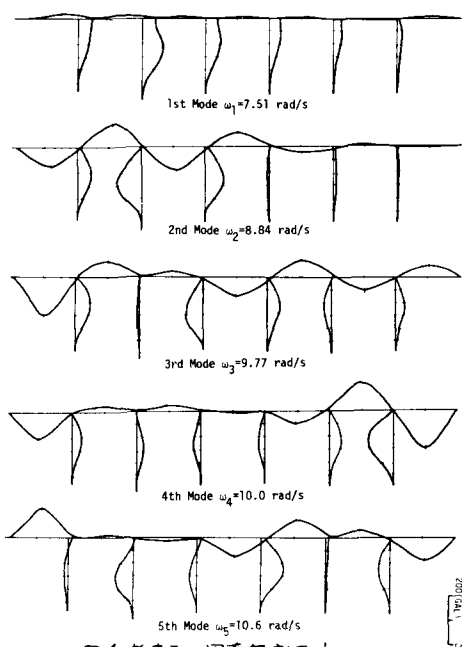


図4 拘束系の固有振動モード

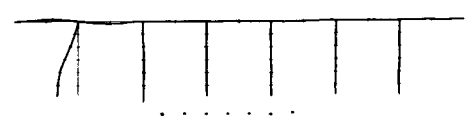
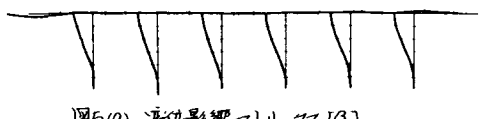


図5(b) 変位影響マトリックス [2]

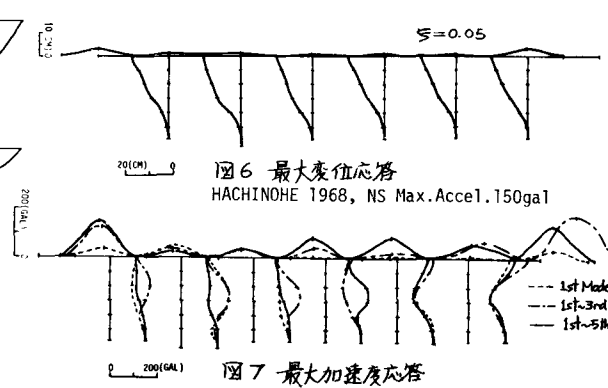


図6 最大変位応答
HACHINOHE 1968, NS Max.Accoel.150ga1

参考文献：竹宮, PC高架橋の耐震設計, 昭和55年春季構造学会
発表書-本州四国連絡橋公團才木建設局委託